

Таким образом, плоскость качаний маятника поворачивается вокруг отвесной линии с угловой скоростью  $\omega \sin(\varphi + \gamma)$ , которая оказывается максимальной и равной  $\omega$  при  $\varphi = 90^\circ$ , т. е. на полюсах Земли, и обращается в нуль при  $\varphi = 0^\circ$ , т. е. на экваторе. Описанное явление носит название **эффекта Фуко**. Как следует из рис. 34, плоскость качаний маятника поворачивается по часовой стрелке, т. е. против вращения Земли, с постоянной угловой скоростью  $\omega \sin(\varphi + \gamma)$ .

## § 9. Движение точки под действием центральных сил

Пусть на материальную точку с массой  $m$ , положение которой относительно системы  $Oxyz$  определяется заданием радиус-вектора  $r$ , действует сила  $F$ , коллинеарная вектору  $r$ :

$$F = \lambda r,$$

где  $\lambda = \lambda(x, y, z, t)$  — скалярная функция координат точки и времени.

Если к рассматриваемой материальной точке приложена только указанная сила, то согласно второму закону Ньютона уравнение ее движения имеет вид

$$mv = m\ddot{r} = \lambda r. \quad (9.1)$$

Сила  $F$ , линия действия которой всегда проходит через одну и ту же точку  $O$ , называется **центральной силой**. При  $\lambda > 0$  масса  $m$  отталкивается от неподвижного центра, а при  $\lambda < 0$  притягивается к нему.

Для центральной силы, как было отмечено в § 2 данной главы, всегда существует интеграл моментов  $I = r \times mv = \text{const} = C$ , из которого следует, что траекторией движения материальной точки под действием центральной силы является **плоская кривая**. При  $C = 0$  она вырождается в прямую, так как при этом вектор скорости  $v = r$  коллинеарен вектору  $r$ .

Для простоты будем считать, что вектор  $C$  направлен по оси  $Oz$ . Интеграл моментов при этом записываем в виде

$$r \times v = ck, \text{ где } c > 0. \quad (9.2)$$

**Интеграл площадей.** На плоскости  $Oxy$ , в которой происходит движение, удобно ввести полярную систему координат  $r, \varphi$  (рис. 35). При этом уравнение (9.2) в проекции на ось  $z$  принимает вид

$$r^2\dot{\varphi} = c = \text{const}.$$

\* Маятник Фуко демонстрирует неинерциальность системы отсчета, связанной с Землей, а точнее, вращение Земли. Опыт был проведен Жаном Бернаром Леоном Фуко в 1851 г. с маятником длиной 67 м.

Это соотношение называется **интегралом площадей**, так как производная по времени от площади  $\sigma$  криволинейного сектора  $OM_0M$  вычисляется по формуле

$$\frac{d\sigma}{dt} = \frac{1}{2} r^2 \dot{\varphi}. \quad (9.3)$$

Действительно, приращение  $\Delta\sigma$  площади  $\sigma$ , соответствующее приращению  $\Delta\varphi$  угла  $\varphi$ , с точностью до малых второго порядка

$$\Delta\sigma = \frac{1}{2} r^2 \Delta\varphi,$$

откуда после деления на  $\Delta t$  и перехода к пределу получаем выражение (9.3).

Если ввести в рассмотрение углы  $\alpha$  и  $\theta$  между вектором скорости  $v$  и осями полярной системы координат  $e_r^0$  и  $e_\varphi^0$ , как показано на рис. 35, то, учитывая, что  $v \sin \alpha = v \cos \theta = r\dot{\varphi}$ ,  $v = |v|$ , постоянную  $c$  можно представить в виде

$$c = rv \sin \alpha = rv \cos \theta.$$

Таким образом, интеграл площадей, имеющий очень большое значение при изучении движения под действием центральной силы, может быть представлен в виде следующей цепочки равенств:

$$r^2\dot{\varphi} = rv \sin \alpha = rv \cos \theta = 2 \frac{d\sigma}{dt} = c. \quad (9.4)$$

**Формулы Бинэ.** Напомним выражения для компонент скорости и ускорения в полярной системе координат:

$$v_r = \dot{r}, \quad v_\varphi = r\dot{\varphi}, \quad T_1 = \frac{v^2}{2} = \frac{r^2 + r^2\dot{\varphi}^2}{2}, \quad (9.5)$$

$$w_r = \frac{d}{dt} \frac{\partial T_1}{\partial \dot{r}} - \frac{\partial T_1}{\partial r} = \ddot{r} - r\dot{\varphi}^2, \quad (9.6)$$

$$w_\varphi = \frac{1}{r} \left( \frac{d}{dt} \frac{\partial T_1}{\partial \dot{\varphi}} - \frac{\partial T_1}{\partial \varphi} \right) = \frac{1}{r} \frac{d}{dt} (r^2\dot{\varphi}). \quad (9.7)$$

Уравнение Ньютона (9.1) в проекциях на оси полярной системы координат принимает вид

$$mw_r = \lambda r, \quad (9.8)$$

$$mw_\varphi = 0. \quad (9.9)$$

Из равенства (9.9) с учетом соотношения (9.7) следует, что

$$r^2\dot{\varphi} = \text{const} = \sigma.$$

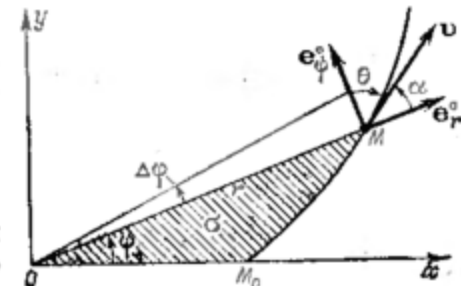


Рис. 35.

Интеграл площадей (9.4), таким образом, можно получить непосредственно из уравнений Лагранжа второго рода, не прибегая к теореме о моменте импульса.

Наличие интеграла площадей дает возможность заменить оператор дифференцирования по времени оператором дифференцирования по переменной  $\phi$ :

$$\frac{d}{dt} = \frac{d\phi}{dt} \frac{d}{d\phi} = \frac{c}{r^2} \frac{d}{d\phi}.$$

Обозначая  $u = 1/r$ , получаем

$$\frac{d}{dt} = cu^2 \frac{d}{d\phi}.$$

Это соотношение и интеграл площадей позволяют выражения (9.5)–(9.7) для компонент скорости и ускорения представить в виде

$$v_r = \dot{r} = \frac{dr}{dt} = -\frac{1}{u^2} \frac{du}{dt} = -c \frac{du}{d\phi}, \quad (9.10)$$

$$v_\phi = r\dot{\phi} = cu, \quad (9.11)$$

$$\begin{aligned} w_r &= \frac{dv_r}{dt} - u^{-1} c^2 u^4 = cu^2 \frac{d}{d\phi} \left( -c \frac{du}{d\phi} \right) - c^2 u^3 = \\ &= -c^2 u^2 \left( \frac{d^2 u}{d\phi^2} + u \right), \quad (9.12) \\ w_\phi &= 0. \end{aligned}$$

Из выражений (9.10)–(9.12) можно получить соотношения

$$v^2 = c^2 \left[ \left( \frac{du}{d\phi} \right)^2 + u^2 \right], \quad (9.13)$$

$$w_r = -c^2 u^2 \left( \frac{d^2 u}{d\phi^2} + u \right), \quad (9.14)$$

называемые соответственно *первой* и *второй формулами Бинэ*.

Отметим особо, что формулы Бинэ, позволяющие определять скорость и ускорение в любой точке траектории из уравнения траектории в полярных координатах  $r = r(\phi)$ , имеют место при движении материальной точки в любом центральном силовом поле, т. е. при любой функции  $\lambda = \lambda(x, y, z, t)$ .

**Интеграл энергии.** Признаком центральности силового поля является наличие интеграла площадей. Признаком же существования интеграла энергии является независимость работы от формы пути. Поэтому если поле центральное, то интеграл площадей существует всегда, а интеграл энергии только в некоторых случаях.

В важном частном случае, когда величина центральной силы зависит только от расстояния  $r$ , т. е. когда  $\lambda = \lambda(r)$ , элемен-

тарная работа может быть представлена в виде

$$dA = \mathbf{F} \cdot d\mathbf{r} = F_r(r) dr = \lambda(r) r dr = -d\Pi,$$

где

$$\Pi = - \int F_r dr = - \int \lambda(r) r dr. \quad (9.15)$$

Следовательно, при  $\lambda = \lambda(r)$  интеграл энергии существует, причем потенциальная энергия может быть вычислена по формуле (9.15).

**Движение точки в центральном потенциальном поле.** Подставляя в интеграл энергии  $m v^2/2 + \Pi(r) = E_0 = \text{const}$  выражение (9.13) для квадрата скорости, получаем

$$\left( \frac{du}{d\phi} \right)^2 = \frac{2}{mc^2} \left[ E_0 - \Pi(u) - \frac{mc^2 u^2}{2} \right].$$

Переходя от  $u$  к  $r$ , имеем

$$\left( \frac{dr}{d\phi} \right)^2 = \frac{2r^4}{mc^2} P(r), \quad (9.16)$$

где  $P(r) = E_0 - \Pi(r) - mc^2/(2r^2)$ .

Пусть в начальный момент  $dr/d\phi \neq 0$ . Тогда функция  $P(r)$  при  $r = r_0$  положительна. Вследствие непрерывности данной функции положительна и в некоторой окрестности точки  $r = r_0$ . От размеров этой окрестности зависит характер траектории движения.

Выделим следующие четыре случая, в которых уравнение  $P(r) = 0$ :

- 1) имеет два разных положительных корня  $r_1$  и  $r_2$ , таких, что  $P(r) > 0$ ,  $r_1 < r < r_2$ ;
- 2) имеет положительный корень  $r_1 < r_0$ , такой, что  $P(r) > 0$ ,  $r_1 < r < +\infty$ ;
- 3) имеет корень  $r_2 > r_0$ , такой, что  $P(r) > 0$ ,  $0 < r < r_2$ ;
- 4) не имеет положительных корней:  $P(r) > 0$ ,  $0 < r < +\infty$ .

В первом случае движение происходит между двумя концентрическими окружностями с радиусами  $r_1$  и  $r_2$ . Для простоты будем считать, что угол  $\phi$  отсчитывается от положения, в котором  $r = r_1$ , а  $dr/d\phi = 0$ . При переходе из этой точки на окружность с большим радиусом  $r = r_2$  величина  $r$  возрастает с увеличением  $\phi$ , и потому дифференциальное уравнение (9.16) на этом участке может быть представлено в виде

$$d\phi = f(r) dr, \quad \text{где } f(r) = \frac{c \sqrt{m}}{\sqrt{2} r^2 \sqrt{P(r)}}.$$

Интегрируя это уравнение, получаем

$$\phi = I(r) = \int_r^{r_2} f(r) dr, \quad 0 \leq \phi \leq \Delta\phi = I(r_2), \quad r_1 \leq r \leq r_2. \quad (9.17)$$

После касания окружности с большим радиусом величина  $r$  с возрастанием  $\varphi$  убывает, и, следовательно,  $d\varphi = -f(r)dr$ , а значит,

$$\begin{aligned}\varphi &= \Delta\varphi - \int_{r_1}^r f(r) dr = \Delta\varphi - \int_{r_1}^{r_2} f(r) dr - \\ &- \int_r^{r_1} f(r) dr = 2\Delta\varphi - I(r), \quad \Delta\varphi \leq \varphi \leq 2\Delta\varphi.\end{aligned}\quad (9.18)$$

При дальнейшем увеличении угла  $\varphi$ , рассуждая, как и ранее, имеем

$$\begin{aligned}\varphi &= 2\Delta\varphi + I(r), \quad 2\Delta\varphi \leq \varphi \leq 3\Delta\varphi, \\ \varphi &= 4\Delta\varphi - I(r), \quad 3\Delta\varphi \leq \varphi \leq 4\Delta\varphi.\end{aligned}$$

Сравнивая эти два равенства с соотношениями (9.17) и (9.18), видим, что функция  $r = r(\varphi)$  периодическая, а угол  $2\Delta\varphi$  является ее периодом. Построение функции  $r = r(\varphi)$  сводится, таким образом, к вычислению интеграла (9.17).

Если угол  $2\Delta\varphi$ , соответствующий возвращению на окружность, с которой началось движение, может быть представлен в виде

$$2\Delta\varphi = 2\pi k/n,$$

где  $k$  и  $n$  — целые числа, то при  $n$ -м возвращении угол  $\varphi$  изменится на  $2\pi k$ . Это означает, что точка возвратилась в исходное положение. Траектория движения является в этом случае замкнутой кривой. Как показали исследования интеграла (9.17), это возможно при произвольном  $c$  только при  $\Pi = -\mu/r$ ,  $\Pi = kr^2/2$ , где  $\mu$  и  $k$  — некоторые положительные постоянные.

Отметим одно важное свойство функции  $r = r(\varphi)$ . Если произвести замену  $\varphi_1 = -\varphi$ , т. е. изменить направление положительного отсчета угла  $\varphi$ , то исходное дифференциальное уравнение сохранит форму, так как  $(dr/d\varphi)^2 = (dr/d\varphi_1)^2$ . Остальные рассуждения при построении функции  $r = r(\varphi_1)$  аналогичны приведенным, и поэтому  $r(\varphi_1) = r(-\varphi)$ , т. е.

$$r(\varphi) = r(-\varphi). \quad (9.19)$$

Таким образом, функция  $r = r(\varphi)$  является четной и, следовательно, легко продолжается в область отрицательных значений угла  $\varphi$ .

Рассмотрим теперь движение точки по построенной траектории. Начальными данными в рассматриваемой задаче являются величины  $\varphi_0$ ,  $\dot{\varphi}_0$ ,  $r_0$ ,  $\dot{r}_0$ . Постоянные  $E_0$  и  $c$ , которые определяют форму траектории, характеризуются значениями  $\dot{\varphi}_0$ ,  $r_0$ ,  $\dot{r}_0$ . Величина  $\varphi_0$  зависит от выбора начала отсчета угла  $\varphi$ . Выбор  $\varphi_0$  является произвольным, поэтому числовое значение угла  $\varphi_0$  не является существенным в данной задаче. Напомним, что

для удобства построения кривой  $r = r(\varphi)$  было принято, что угол  $\varphi$  отсчитывается от точки, в которой  $r = r_1$ , а  $dr/d\varphi = 0$ . Наличие интеграла площадей указывает на то, что величина  $\dot{\varphi}$  при движении имеет тот же знак, что и  $\dot{\varphi}_0$ . Будем считать, что выбранное направление отсчета угла  $\varphi$  таково, что при движении угол  $\varphi$  возрастает. При таком подходе начальная точка на кривой  $r = r(\varphi)$  определяется значением  $r_0$  и знаком  $\dot{r}_0$ .

Отметим точки пересечения кривой  $r = r(\varphi)$  с окружностью  $r = r_0$ . В одних из них  $\dot{r} > 0$ , а в других  $\dot{r} < 0$ . Любая из данных точек, знак  $\dot{r}$  которой совпадает со знаком  $\dot{r}_0$ , может быть принята за начальную точку траектории. Для определенности при  $\dot{r}_0 > 0$  начальной считаем точку, которая соответствует наименьшему значению угла  $\varphi_0$ . Обозначим этот угол через  $\varphi_0$ .

Так как  $r(\varphi) = r(-\varphi)$ , то  $\dot{r}(\varphi) = -\dot{r}(-\varphi)$ . Поэтому при  $\dot{r}_0 < 0$  начальной можно считать точку, соответствующую углу  $\varphi = -\varphi_0$ .

Рассмотрим второй случай, когда  $P(r_1) = 0$ ,  $r_1 < r_0$ ,  $P(r) > 0$ ,  $r_1 < r < +\infty$ .

Кривая  $r = r(\varphi)$ , построенная по формулам (9.17) и (9.19), имеет в данном случае только две точки пересечения с окружностью  $r = r_0$  при  $\varphi = \varphi_0$  и  $\varphi = -\varphi_0$  соответственно. Если  $\dot{r}_0 > 0$ , то точка монотонно удаляется в бесконечность. В случае  $\dot{r}_0 < 0$  при выходе из точки  $(r_0, -\varphi_0)$  величина  $r$  сначала убывает с возрастанием  $\varphi$ , затем точка касается окружности  $r = r_1$  и далее монотонно удаляется в бесконечность.

В третьем случае, когда  $P(r_2) = 0$ ,  $r_0 < r_2$ ,  $P(r) > 0$ ,  $0 < r < r_2$ , начало отсчета угла  $\varphi$  целесообразно связать с точкой, в которой  $r = r_2$ , а  $dr/d\varphi = 0$ . Кривая  $r = r(\varphi)$  при этом задается соотношениями

$$\begin{aligned}\varphi &= \int_r^{r_2} f(r) dr, \quad \varphi \geq 0, \quad r \leq r_2, \\ r(\varphi) &= r(-\varphi), \quad \varphi \leq 0.\end{aligned}$$

При  $\dot{r}_0 > 0$  точка в процессе движения касается окружности  $r = r_2$ , а затем начинает монотонно приближаться к центру. При  $\dot{r}_0 < 0$  приближение начинается сразу. В полях, на которые при некоторых начальных данных распространяется третий случай, возможно падение точки на центр.

Четвертый случай, когда уравнение  $P(r) = 0$  не имеет положительных корней, не является характерным, и поэтому на нем останавливаться не будем.

**Движение точки под действием силы, пропорциональной расстоянию.** Простейшим примером центрального потенциального поля является поле, в котором сила задается в виде  $F = -kr$ ,